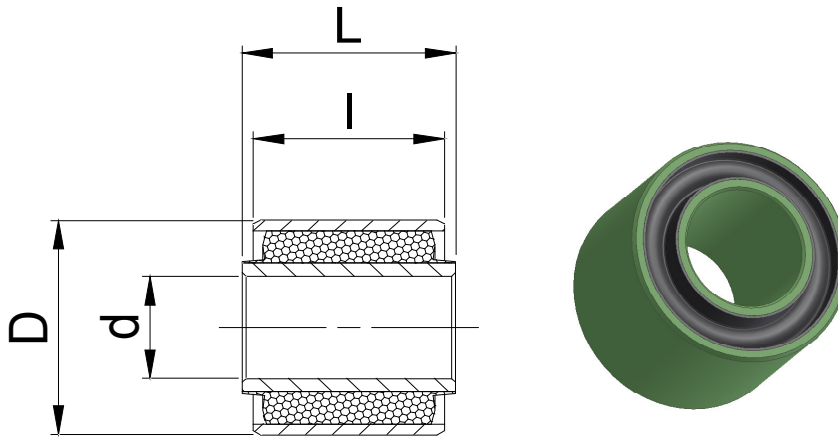
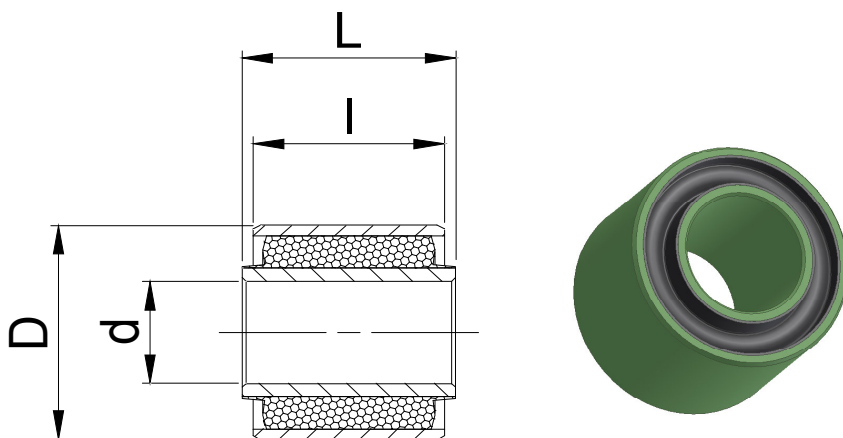


TYPE FBNS



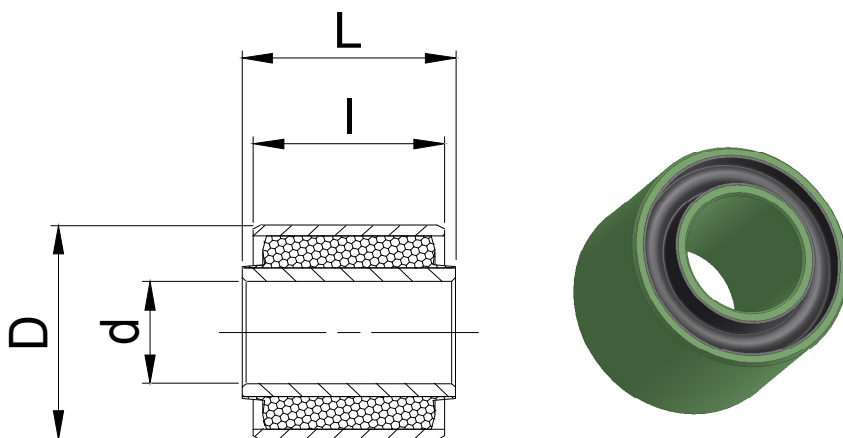
Item	d	D	l	L	RADIAL		AXIAL		TORSIONAL		CONICAL	
					Stiffness (daN/mm)	Deflec.max (mm)	Stiffness (daN/mm)	Deflec.max (mm)	Stiffness (Nm/°)	Angle.max (°gradi)	Stiffness (Nm/°)	Angle.max (°gradi)
					(mm)							
FBNS0816.1415	8,2	16,0	14,0	15,0	683	0,2	49	0,2	0,36	15°	0,94	3°
FBNS0820.1421	8,2	20,0	14,0	21,0	111	0,2	20	0,2	0,24	30°	0,16	7°
FBNS0820.1517	8,2	20,0	15,0	17,0	126	0,5	22	0,2	0,26	30°	0,20	7°
FBNS0820.1519	8,2	20,0	15,0	19,0	126	0,5	22	0,8	0,26	30°	0,20	7°
FBNS0822.2023	8,2	22,0	20,0	23,0	167	0,6	27	0,6	0,35	30°	0,52	7°
FBNS0832.3440	8,2	32,0	34,0	40,0	317	0,9	48	1,2	1,31	30°	3,06	3°
FBNS1022.1517	10,0	22,0	15,0	17,0	343	0,4	37	0,4	0,54	20°	0,52	3°
FBNS1022.1519	10,0	22,0	15,0	19,0	343	0,4	37	0,8	0,54	20°	0,52	3°
FBNS1022.2023	10,0	22,0	20,0	23,0	612	0,4	54	0,6	0,75	20°	1,73	1°
FBNS1022.2530	10,0	22,0	25,0	30,0	958	0,4	73	1,0	0,95	20°	4,35	3°
FBNS1022.3033	10,0	22,0	30,0	33,0	1380	0,4	93	0,6	1,16	15°	9,19	2°
FBNS1024.1822	10,0	24,0	18,0	22,0	239	0,5	33	0,8	0,56	25°	0,56	5°
FBNS1024.1824	10,0	24,0	18,0	24,0	239	0,5	33	1,2	0,56	30°	0,56	3°
FBNS1027.1722	10,0	27,0	17,0	22,0	113	0,8	22	1,0	0,47	30°	0,25	3°
FBNS1028.2027	10,0	28,0	20,0	27,0	128	0,8	25	1,4	0,56	20°	0,41	5°
FBNS1030.4549	10,0	30,0	45,0	49,0	1114	0,7	98	0,8	2,52	30°	17,96	3°
FBNS1125.5154	11,4	25,4	51,0	54,0	1698	0,6	122	0,6	2,00	20°	34,80	1°

TYPE FBNS



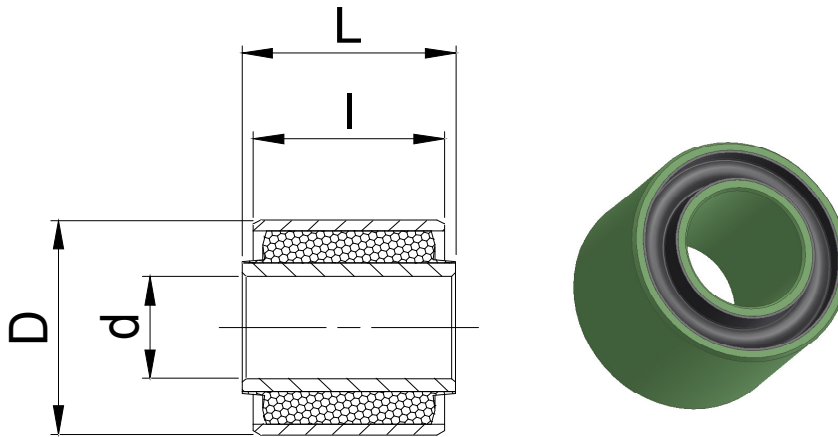
Item	d	D	l	L	RADIAL		AXIAL		TORSIONAL		CONICAL	
					Stiffness (daN/mm)	Deflec.max (mm)	Stiffness (daN/mm)	Deflec.max (mm)	Stiffness (Nm/°)	Angle.max (°gradi)	Stiffness (Nm/°)	Angle.max (°gradi)
					(mm)							
FBNS1224.3538	12,0	24,0	35,0	38,0	2332	0,4	133	0,6	1,93	20°	21,30	1°
FBNS1225.2024	12,0	25,0	20,0	24,0	492	0,5	50	0,8	0,95	20°	1,41	3°
FBNS1225.3538	12,0	25,0	35,0	38,0	1483	0,5	104	0,6	1,75	20°	13,80	1°
FBNS1225.5054	12,0	25,0	50,0	54,0	3000	0,5	168	0,8	2,54	20°	57,84	1°
FBNS1226.1824	12,0	26,0	18,0	24,0	287	0,5	37	1,2	0,78	30°	0,67	7°
FBNS1226.2024	12,0	26,0	20,0	24,0	351	0,5	42	0,8	0,88	30°	1,03	7°
FBNS1226.2327	12,0	26,0	23,0	27,0	458	0,5	51	0,2	1,03	20°	1,81	4°
FBNS1226.3234	12,0	26,0	32,0	34,0	865	0,5	76	0,4	1,47	30°	6,79	7°
FBNS1227.1824	12,0	26,5	18,0	24,0	287	0,5	37	1,2	0,78	30°	0,67	7°
FBNS1227.3842	12,0	27,0	38,0	42,0	888	0,6	81	0,8	1,67	30°	10,09	3°
FBNS1227.5056	12,0	27,0	50,0	56,0	1271	0,6	106	1,2	2,16	20°	25,38	1°
FBNS1227.6068	12,0	27,0	60,0	68,0	1799	0,6	133	1,6	2,61	15°	51,84	1°
FBNS1228.3238	12,0	28,0	32,0	38,0	499	0,7	58	1,2	1,33	20°	4,06	3°
FBNS1228.4044	12,0	28,0	40,0	44,0	755	0,7	76	0,8	1,68	25°	9,66	2°
FBNS1230.2428	12,0	30,0	24,0	28,0	203	0,8	34	0,8	0,92	30°	0,94	4°
FBNS1230.2130	12,0	30,0	21,0	30,0	161	0,8	29	1,8	0,79	30°	0,56	4°
FBNS1230.2430	12,0	30,0	24,0	30,0	203	0,8	34	1,2	0,92	30°	0,94	4°

TYPE FBNS



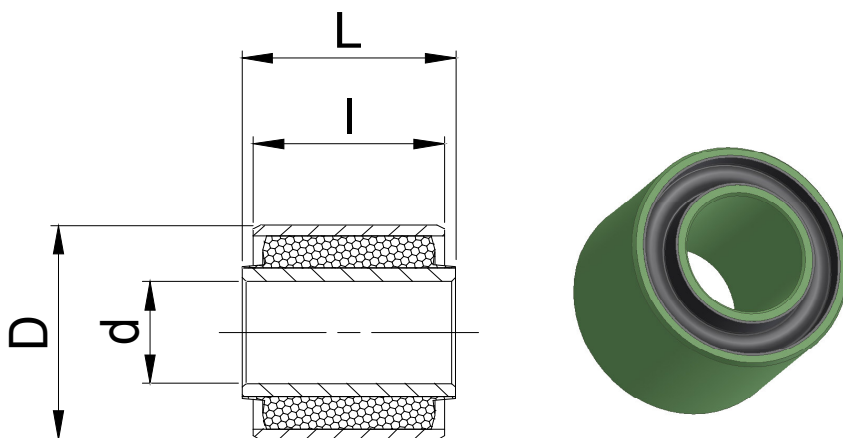
Item	d	D	l	L	RADIAL		AXIAL		TORSIONAL		CONICAL	
					Stiffness (daN/mm)	Deflec.max (mm)	Stiffness (daN/mm)	Deflec.max (mm)	Stiffness (Nm/°)	Angle.max (°gradi)	Stiffness (Nm/°)	Angle.max (°gradi)
					(mm)							
FBNS1230.2528	12,0	30,0	25,0	28,0	218	0,8	36	0,6	0,96	30°	1,10	4°
FBNS1230.3944	12,0	30,0	39,0	44,0	477	0,8	61	1,0	1,55	30°	5,97	2°
FBNS1232.3440	12,0	32,0	34,0	40,0	317	0,9	48	1,2	1,31	30°	3,06	3°
FBNS1240.5866	12,0	40,0	58,0	66,0	330	1,5	58	1,6	2,28	30°	10,04	3°
FBNS1242.7582	12,1	42,2	75,0	82,0	487	1,6	77	2,4	3,36	20°	24,65	1°
FBNS1252.4052	12,5	52,0	40,0	52,0	230	1,7	47	2,4	3,72	30°	3,33	3°
FBNS1327.3844	13,0	27,0	38,0	44,0	1322	0,5	101	1,2	2,05	25°	14,72	3°
FBNS1427.4045	14,3	27,0	40,0	45,0	2330	0,5	141	1,0	2,72	25°	28,32	2°
FBNS1427.5056	14,3	27,0	50,0	56,0	2855	0,5	167	1,2	3,26	20°	55,24	1°
FBNS1429.3244	14,3	29,0	32,0	44,0	760	0,6	74	2,4	1,85	20°	6,03	2°
FBNS1430.2528	14,3	30,0	25,0	28,0	371	0,7	48	0,6	1,35	30°	1,80	7°
FBNS1430.2530	14,3	30,0	25,0	30,0	371	0,7	48	1,0	1,35	30°	1,80	7°
FBNS1430.3344	14,3	30,0	33,0	44,5	621	0,7	67	2,3	1,82	30°	5,34	3°
FBNS1430.3842	14,3	30,0	38,0	42,0	809	0,7	80	0,8	2,11	30°	9,27	3°
FBNS1430.3944	14,3	30,0	39,0	44,5	850	0,7	82	1,1	2,17	30°	10,26	3°
FBNS1430.4451	14,3	30,0	44,5	50,8	1088	0,7	97	1,3	2,49	25°	17,12	2°
FBNS1430.4549	14,3	30,0	45,0	49,0	1114	0,7	98	0,8	2,52	25°	17,96	2°

TYPE FBNS



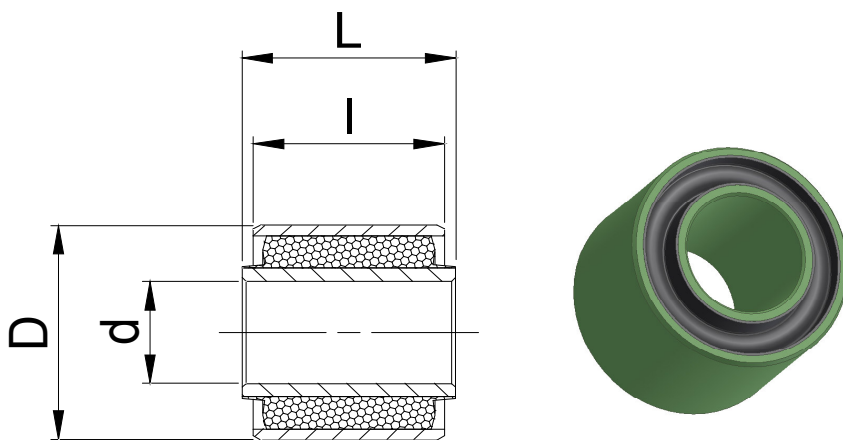
Item	d	D	I	L	RADIAL		AXIAL		TORSIONAL		CONICAL	
					Stiffness (daN/mm)	Deflec.max (mm)	Stiffness (daN/mm)	Deflec.max (mm)	Stiffness (Nm/°)	Angle.max (°gradi)	Stiffness (Nm/°)	Angle.max (°gradi)
					(mm)							
FBNS1430.6370	14,3	30,2	63,5	69,85	2039	0,7	148	1,3	3,58	20°	65,93	1°
FBNS1430.8692	14,3	30,2	85,9	91,6	3645	0,7	220	1,1	4,88	15°	215,80	1°
FBNS1432.3846	14,3	32,0	38,0	46,0	529	0,8	65	1,6	1,97	25°	6,24	2°
FBNS1432.5054	14,0	32,0	49,6	54,0	1565	0,7	123	0,9	3,60	25°	30,55	2°
FBNS1432.5862	14,3	31,7	57,4	62,0	1198	0,8	110	0,9	3,05	20°	32,19	1°
FBNS1432.6066	14,0	32,0	60,0	66,0	2255	0,4	157	1,2	4,39	25°	64,62	2°
FBNS1440.6070	14,0	40,0	60,0	70,0	2317	0,8	166	2,0	6,56	30°	66,54	3°
FBNS1440.6072	14,0	40,0	60,0	72,0	2317	0,8	166	2,4	6,56	30°	66,54	3°
FBNS1452.5664	14,0	52,0	56,0	64,0	352	1,8	64	1,6	4,87	30°	10,04	3°
FBNS1632.2528	16,0	32,0	25,0	28,0	869	0,5	77	0,6	2,52	20°	4,01	5°
FBNS1632.2832	16,0	32,0	28,0	32,0	530	0,7	61	0,8	1,97	20°	3,23	3°
FBNS1632.5054	16,0	32,0	49,6	54,0	1565	0,7	123	0,9	3,60	15°	30,55	1°
FBNS1632.6066	16,0	32,0	60,0	66,0	2255	0,7	157	1,2	4,39	20°	64,61	1°
FBNS1632.6069	16,0	32,0	60,0	69,0	2255	0,7	157	1,8	4,39	20°	64,61	1°
FBNS1633.5059	16,0	33,0	50,0	59,0	1589	0,7	124	1,8	3,64	15°	31,53	1°
FBNS1633.6066	16,0	33,0	60,0	66,0	2255	0,7	157	1,2	4,39	15°	64,61	1°
FBNS1635.5862	16,0	35,0	58,0	62,0	1332	0,8	119	0,8	3,91	20°	36,46	1°

TYPE FBNS



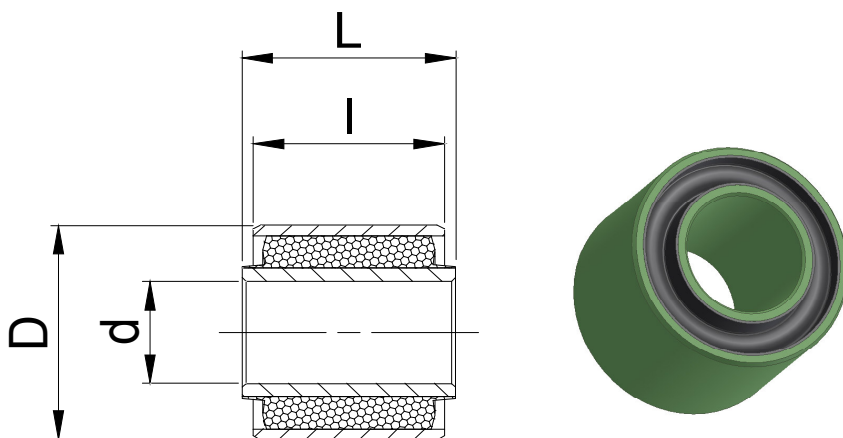
Item	d	D	l	L	RADIAL		AXIAL		TORSIONAL		CONICAL	
					Stiffness (daN/mm)	Deflec.max (mm)	Stiffness (daN/mm)	Deflec.max (mm)	Stiffness (Nm/°)	Angle.max (°gradi)	Stiffness (Nm/°)	Angle.max (°gradi)
					(mm)							
FBNS1636.3038	16,0	36,0	30,0	38,0	289	1,0	46	1,6	1,86	30°	2,15	7°
FBNS1636.3538	16,0	36,0	35,0	38,0	377	1,0	55	0,6	2,19	30°	3,84	7°
FBNS1636.6570	16,0	36,0	65,0	70,0	1894	0,8	149	1,0	5,52	20°	64,78	1°
FBNS1638.6072P	16,2	38,0	60,0	72,1	3192	0,8	199	2,4	7,67	20°	90,59	1°
FBNS1640.3543	16,0	40,0	35,0	43,0	255	1,2	46	1,6	2,09	30°	2,70	2°
FBNS1645.7582	16,5	45,0	75,0	82,0	1055	1,3	119	1,4	6,82	25°	50,56	1°
FBNS1646.6067	16,0	46,0	60,0	67,0	486	1,5	75	1,4	4,41	25°	15,47	2°
FBNS1646.6082	16,0	46,0	60,0	82,0	486	1,5	75	4,4	4,41	25°	15,47	1°
FBNS1834.3236	18,0	34,0	32,0	36,0	1099	0,6	94	0,8	3,42	20°	8,59	3°
FBNS1834.6571	18,0	34,0	65,0	71,0	4383	0,6	239	1,2	7,19	20°	145,20	1°
FBNS1842.3538	18,0	42,2	35,0	38,0	335	1,1	54	0,6	2,89	30°	3,47	7°
FBNS1842.3542	18,0	42,2	35,0	42,0	335	1,1	54	1,4	2,89	30°	3,47	7°
FBNS1846.6067	18,0	46,0	60,0	67,0	560	1,4	81	1,4	4,86	25°	17,62	3°
FBNS2038.3538	20,0	38,0	35,0	38,0	1126	0,7	99	0,6	4,36	20°	10,69	3°
FBNS2042.3546	20,0	42,2	35,0	46,0	488	1,0	66	2,2	3,66	20°	4,90	3°
FBNS2044.3842	20,0	44,0	38,0	42,0	439	1,1	64	0,8	3,82	30°	5,32	7°
FBNS2045.4046	20,0	45,0	40,0	46,0	640	1,0	78	1,2	4,24	30°	8,40	3°

TYPE FBNS



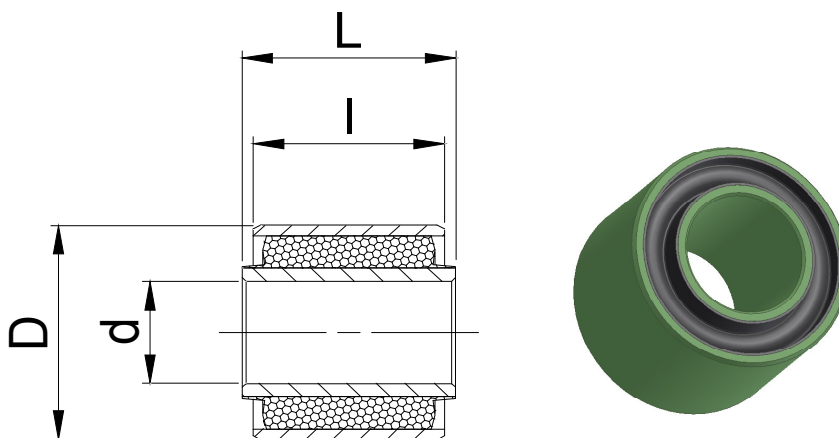
Item	d	D	l	L	RADIAL		AXIAL		TORSIONAL		CONICAL	
					Stiffness (daN/mm)	Deflec.max (mm)	Stiffness (daN/mm)	Deflec.max (mm)	Stiffness (Nm/°)	Angle.max (°gradi)	Stiffness (Nm/°)	Angle.max (°gradi)
					(mm)							
FBNS2045.5562	20,0	45,0	55,0	62,5	740	1,2	92	1,5	5,52	25°	18,98	3°
FBNS2045.5962	20,0	45,0	59,5	62,5	851	1,2	101	0,6	5,99	25°	25,50	3°
FBNS2046.3542	20,0	46,0	35,0	42,0	769	0,9	85	1,4	5,95	30°	7,51	7°
FBNS2046.4555	20,0	46,0	45,0	55,0	1228	0,9	116	2,0	7,75	25°	19,96	3°
FBNS2046.6067	20,0	46,0	60,0	67,0	765	1,3	96	1,4	5,95	20°	23,53	2°
FBNS2049.5964	20,0	49,0	59,0	64,0	743	1,3	94	0,8	5,85	25°	22,09	2°
FBNS2050.7581	20,0	50,4	75,2	80,6	2258	1,1	182	1,0	12,29	20°	104,50	2°
FBNS2050.9095	20,0	50,5	90,0	95,0	2329	1,2	195	1,0	14,00	15°	156,30	1°
FBNS2052.4052	20,0	52,0	40,0	52,0	326	1,5	57	2,4	4,83	30°	4,56	7°
FBNS2052.6060	20,0	52,0	60,0	60,0	1782	1,1	156	1,2	13,25	25°	52,23	5°
FBNS2052.6066	20,0	52,0	60,0	66,0	1782	1,1	156	1,2	13,25	25°	52,23	5°
FBNS2063.6672	20,2	63,0	66,5	72,5	1279	1,4	140	1,2	16,89	30°	47,66	3°
FBNS2247.7679	22,0	46,6	76,0	78,6	1892	1,1	164	0,5	10,34	20°	90,23	1°
FBNS2442.5055	24,0	42,2	50,0	55,0	3802	0,6	218	1,0	10,77	20°	73,41	3°
FBNS2442.9096	24,0	42,2	90,0	96,0	12171	0,6	504	1,2	19,75	20°	77,35	1°
FBNS2444.4858	24,0	44,5	48,0	58,0	2136	0,8	157	2,0	9,15	20°	38,69	3°
FBNS2444.7779	24,0	45,0	76,5	79,0	4160	0,8	254	5,0	14,06	15°	19,44	1°

TYPE FBNS



Item	d	D	I	L	RADIAL		AXIAL		TORSIONAL		CONICAL	
					Stiffness (daN/mm)	Deflec.max (mm)	Stiffness (daN/mm)	Deflec.max (mm)	Stiffness (Nm/°)	Angle.max (°gradi)	Stiffness (Nm/°)	Angle.max (°gradi)
					(mm)							
FBNS2450.6571	24,1	50,5	65,0	71,0	1278	1,2	131	1,2	10,03	20°	45,06	2°
FBNS2450.7881	24,1	50,5	78,0	80,6	2418	1,1	191	0,5	12,76	20°	120,41	1°
FBNS2450.9095	24,1	50,5	90,0	95,0	2328	1,2	195	1,0	14,00	15°	156,36	1°
FBNS2452.5966	24,0	52,0	59,0	66,0	1726	1,1	153	1,4	13,02	20°	48,95	3°
FBNS2455.5565	24,0	55,0	55,0	65,0	987	1,3	113	2,0	11,10	25°	25,00	5°
FBNS2550.6267	25,0	50,0	62,5	67,5	1757	1,1	154	1,0	11,89	20°	56,10	1°
FBNS2550.6567	25,0	50,0	65,5	67,5	1918	1,1	164	0,4	12,49	20°	67,21	1°
FBNS2555.8993	25,0	55,0	89,5	93,0	2486	1,2	207	0,8	19,55	15°	163,10	1°
FBNS2848.6066	28,0	48,0	60,0	66,0	4035	0,8	241	0,9	15,97	20°	114,15	3°
FBNS2860.4050	28,0	60,0	40,0	50,0	1150	1,1	117	2,0	14,82	25°	14,73	5°
FBNS2860.6580	28,0	60,0	65,0	80,0	785	1,7	107	3,0	12,11	20°	28,82	2°
FBNS2860.7275	28,0	60,0	72,0	75,0	937	1,7	120	0,6	13,46	20°	42,10	2°
FBNS2863.6672	28,0	63,0	66,5	72,5	1279	1,4	140	1,2	16,89	20°	47,66	2°
FBNS3055.8994	30,0	55,0	89,5	94,0	5431	1,0	321	0,9	27,53	15°	349,00	1°
FBNS3057.97102	30,1	57,0	97,5	102,0	8553	0,9	431	0,9	35,95	15°	647,96	1°
FBNS3060.5055	30,0	60,0	50,0	55,0	1108	1,2	120	1,0	13,55	25°	22,83	3°
FBNS3060.6068	30,0	60,0	60,0	68,0	1194	1,4	131	1,6	15,53	20°	35,98	2°

TYPE FBNS



Item	d	D	I	L	RADIAL		AXIAL		TORSIONAL		CONICAL	
					Stiffness (daN/mm)	Deflec.max (mm)	Stiffness (daN/mm)	Deflec.max (mm)	Stiffness (Nm/°)	Angle.max (°gradi)	Stiffness (Nm/°)	Angle.max (°gradi)
					(mm)							
FBNS3063.6672	30,0	63,0	66,5	72,5	1279	1,4	140	1,2	16,88	30°	47,66	3°
FBNS3256.5055	32,0	56,0	50,0	55,0	1498	1,1	139	1,0	14,50	25°	30,29	5°
FBNS3260.6584	32,5	60,0	65,0	84,0	1380	1,4	144	3,8	16,86	25°	48,76	3°
FBNS3270.9095	32,0	70,0	90,0	95,0	1239	1,9	150	1,0	21,04	20°	87,22	2°
FBNS3559.102111	35,0	59,0	102,0	111,0	10966	0,9	516	1,8	48,35	15°	906,75	1°
FBNS3866.5560	38,0	66,0	55,0	60,0	1478	1,3	148	1,0	22,16	20°	36,75	3°
FBNS4066.8696	40,0	66,0	86,0	96,0	9752	0,9	474	2,0	57,06	15°	570,20	1°
FBNS5080.100110	50,0	80,0	100,0	110,0	8639	1,2	468	2,0	83,41	15°	69,26	1°
FBNS60110.120	60,0	110,0	110,0	120,0	5827	1,8	410	2,0	162,63	15°	579,50	2°
FBNS80140.120	80,0	140,0	110,0	120,0	9892	1,8	587	2,0	379,00	15°	969,00	2°
FBNS80140.180	80,0	140,0	170,0	180,0	22992	1,8	107	2,0	590,00	15°	5361,00	1°
FBNS86150.200	86,0	150,0	180,0	200,0	49200	1,5	181	4,0	907,50	15°	12714,00	1°
FBNS100140.120	100,0	140,0	110,0	120,0	12814	1,7	685	2,0	424,00	15°	1246,00	1°
FBNS110160.180	110,0	160,0	170,0	180,0	50791	1,5	1857	2,0	1069,00	15°	11688,00	1°
FBNS124180.230	124,0	180,0	220,0	230,0	49319	2,0	1926	2,0	1506,00	15°	19174,00	1°